

RESUMEN: SEMANA 12

ERNESTO MAYORGA SAUCEDO

11. PRODUCTO PUNTO

Las operaciones aritméticas, de \mathbb{R} -espacio vectorial, introducidas en \mathbb{R}^n ($n = 2, 3$) nos permitieron formalizar el concepto de traslación; además el lenguaje así obtenido nos da la posibilidad de estandarizar algunas técnicas como, por ejemplo, la descripción de las rectas en forma vectorial; más adelante veremos más ejemplos de este tipo de ideas y como un pequeño adelanto mencionamos el cálculo de la distancia de un punto a una recta, en \mathbb{R}^n .

Por otra parte, para encontrar el significado de la noción de rectas paralelas en el lenguaje vectorial será necesario introducir otros conceptos concernientes a espacios vectoriales y un concepto más con un alto contenido geométrico, como se verá más adelante, llamado *producto punto*.

11.1. Rectas paralelas en \mathbb{R}^2 . A manera de motivación, comenzamos con lo mencionado en el párrafo anterior y sea $\ell_{P,\bar{u}}$ una recta en \mathbb{R}^n . Ya que

$$\ell_{P,\bar{u}} = \{P\} + \ell_{O,\bar{u}},$$

se tiene que $\ell_{P,\bar{u}}$ se obtiene trasladando $\ell_{O,\bar{u}}$ por P .

¿Cómo es dicha traslación? Para responder esto, supongamos que $Q \in \ell_{P,\bar{u}} \cap \ell_{O,\bar{u}}$, entonces por el corolario 9.5 se tiene que $\ell_{Q,\bar{u}} = \ell_{P,\bar{u}}$ y $\ell_{Q,\bar{u}} = \ell_{O,\bar{u}}$, y por consiguiente

$$\ell_{P,\bar{u}} = \ell_{O,\bar{u}};$$

lo cual implica $P \in \ell_{O,\bar{u}}$. A partir de esto podemos establecer la siguiente propiedad.

Proposición 11.1. Sea $\ell_{P,\bar{u}}$ una recta en \mathbb{R}^n . Si $P \notin \ell_{O,\bar{u}}$, entonces

$$\ell_{P,\bar{u}} \cap \ell_{O,\bar{u}} = \emptyset.$$

De esta manera, en el caso del plano cartesiano; si $P \notin \ell_{O,\bar{u}}$, entonces $\ell_{P,\bar{u}} \parallel \ell_{O,\bar{u}}$ en el sentido de Euclides.

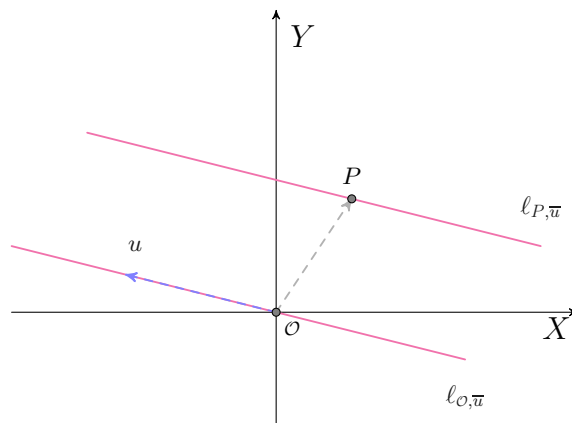


FIGURA 62. $\ell_{P,\bar{u}} \parallel \ell_{O,\bar{u}}$

Ahora bien, si suponemos que $\ell_{P,\bar{u}}$ y $\ell_{Q,\bar{v}}$ son rectas en el plano y $\ell_{P,\bar{u}} \parallel \ell_{Q,\bar{v}}$, ya que $\ell_{O,\bar{u}} \parallel \ell_{P,\bar{u}}$ y $\ell_{Q,\bar{v}} \parallel \ell_{O,\bar{v}}$ intuitivamente sabemos que debe ser $\ell_{O,\bar{u}} \parallel \ell_{O,\bar{v}}$ y como $O \in \ell_{O,\bar{u}} \cap \ell_{O,\bar{v}}$ necesariamente $\ell_{O,\bar{u}} = \ell_{O,\bar{v}}$. Pero bajo el enfoque formal que buscamos establecer con el punto de vista de la estructura algebraica de \mathbb{R}^2 , esto

no es tan simple, es necesario conocer más acerca de qué propiedades nos brinda la estructura de \mathbb{R} -espacio vectorial sobre el mismo \mathbb{R}^2 .

11.2. Pie de perpendicular y proyección ortogonal. Para llevar a cabo esto, comenzaremos por introducir el producto punto y a manera de motivación resolveremos el siguiente problema.

Dado una recta $\ell_{\mathcal{O}, \vec{u}}$ en el plano y $P \in \mathbb{R}^2$, con $P \notin \ell_{\mathcal{O}, \vec{u}}$; queremos encontrar el punto $F \in \ell_{\mathcal{O}, \vec{u}}$ tal que \overline{PF} es perpendicular a $\ell_{\mathcal{O}, \vec{u}}$

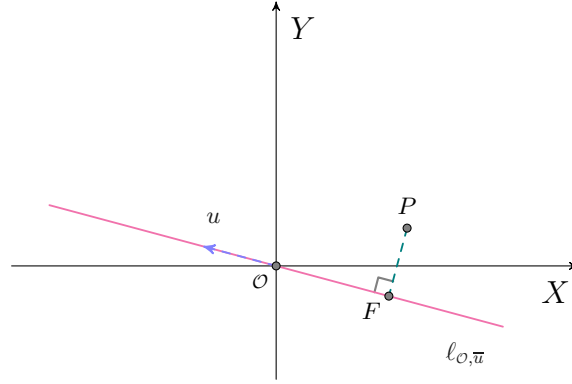


FIGURA 63. F pie de perpendicular de P en $\ell_{\mathcal{O}, \vec{u}}$

Ahora bien, si $F \in \ell_{\mathcal{O}, \vec{u}}$ existe $\lambda \in \mathbb{R}$ tal que $F = \lambda \cdot u$; lo que haremos es mostrar que con los datos con los que contamos podemos encontrar tal escalar λ .

Por construcción, $\triangle OFP$ es rectángulo con \overline{OP} como hipotenusa, así que por el teorema de pitágoras

$$\begin{aligned}
 d(\mathcal{O}, P)^2 &= d(\mathcal{O}, F)^2 + d(F, P)^2 \\
 &= d(\mathcal{O}, F)^2 + (x_F - x_P)^2 + (y_F - y_P)^2 \\
 &= d(\mathcal{O}, F)^2 + (x_F^2 + y_F^2) + (x_P^2 + y_P^2) - 2(x_F x_P + y_F y_P) \\
 &= 2d(\mathcal{O}, F)^2 + d(\mathcal{O}, P)^2 - 2(x_F x_P + y_F y_P) \\
 &= 2\lambda^2 d(\mathcal{O}, u)^2 + d(\mathcal{O}, P)^2 - 2\lambda(x_u x_P + y_u y_P) \quad (\text{ya que } F = \lambda \cdot u) \\
 &= 2\lambda [\lambda d(\mathcal{O}, u)^2 - (x_u x_P + y_u y_P)] + d(\mathcal{O}, P)^2
 \end{aligned}$$

lo cual implica que $2\lambda [\lambda d(\mathcal{O}, u)^2 - (x_u x_P + y_u y_P)] = 0$ y como $\lambda \neq 0$ necesariamente $\lambda d(\mathcal{O}, u)^2 - (x_u x_P + y_u y_P) = 0$ y por consiguiente, al ser $u \neq \mathcal{O}$,

$$(11.1) \quad \lambda = \frac{(x_u x_P + y_u y_P)}{d(\mathcal{O}, u)^2}.$$

La expresión (11.1) la podemos calcular conociendo las coordenadas de u y P y por ende es posible construir el pie de perpendicular de P en $\ell_{\mathcal{O}, \vec{u}}$.

En numerador en (11.1) es una expresión que surge de manera frecuente en geometría, en la siguiente secciones veremos ejemplos de esto.

Definición 11.2. Sean $u, v \in \mathbb{R}^2$. El producto punto de u con v , que denotamos como $u \cdot v$, es el número real

$$u \cdot v = x_u x_v + y_u y_v.$$

Ejemplos 11.3. 1) Si $u = (2, -3)$ y $v = (1, 1)$, entonces

$$u \cdot v = 2 + (-3) = -1.$$

2) Si $e_1 = (1, 0)$ y $e_2 = (0, 1)$, entonces

$$e_i \cdot e_j = \begin{cases} 1 & \text{si } i = j, \\ 0 & \text{si } i \neq j. \end{cases}$$

Además para cada $P \in \mathbb{R}^2$

$$e_i \cdot P = \begin{cases} x_P & \text{si } i = 1, \\ y_P & \text{si } i = 2. \end{cases}$$

3) Si $P \in \mathbb{R}^2$, entonces

$$\begin{aligned} P \cdot P &= x_P^2 + y_P^2 \\ &= d(\mathcal{O}, P)^2. \end{aligned}$$

4) Si $P, Q \in \mathbb{R}^2$, entonces

$$\begin{aligned} (P - Q) \cdot (P - Q) &= (x_P - x_Q)^2 + (y_P - y_Q)^2 \\ &= d(P, Q)^2. \end{aligned}$$

5) Si $v = (a, b) \neq \mathcal{O}$ y $v^\perp := (-b, a)$, entonces

$$v \cdot v^\perp = -ab + ba = 0.$$

Antes de hacer mención sobre algunos de los ejemplos anteriores, presentamos las principales propiedades del producto punto.

Proposición 11.4. Sean $u, v, w \in \mathbb{R}^2$ y $\lambda \in \mathbb{R}$.

- 1) $u \cdot v = v \cdot u$.
- 2) $u \cdot (v + w) = u \cdot v + u \cdot w$.
- 3) $u \cdot (\lambda \cdot v) = \lambda \cdot (u \cdot v)$.
- 4) El producto punto es positivo definido:
 - 4.1) $u \cdot u \geq 0$.
 - 4.2) $u \cdot u \geq 0$ si y sólo si $u = \mathcal{O}$.

La demostración no representa ningún problema y se deja como ejercicio al lector. Como primer consecuencia de la proposición 11.4, tenemos que las propiedades (2) y (3), ahí descritas, son válidas cuando cambiamos el orden, más precisamente.

Corolario 11.5. Sean $u, v, w \in \mathbb{R}^n$ y $\lambda \in \mathbb{R}$.

- 1) $(u + v) \cdot w = u \cdot w + v \cdot w$.
- 2) $(\lambda \cdot u) \cdot v = \lambda \cdot (u \cdot v)$.

Regresando a el problema de encontrar el pie de perpendicular F de P en $\ell_{\mathcal{O},\bar{u}}$, si consideramos las nuevas definiciones y teniendo en cuenta el inciso 3) del ejemplo 11.3, se tiene que

$$F = \left(\frac{u \cdot P}{u \cdot u} \right) \cdot u.$$

La expresión anterior será de gran importancia en lo subsecuente así que la introducimos en la siguiente definición.

Definición 11.6. Sean $v \in \mathbb{R}^2 - \{\mathcal{O}\}$ y $P \in \mathbb{R}^3$. La proyección ortogonal de P en v , que denotaremos como $\text{Proy}_v(P)$, es el elemento de \mathbb{R}^2 dado por

$$\text{Proy}_v(P) = \left(\frac{v \cdot P}{v \cdot v} \right) \cdot v.$$

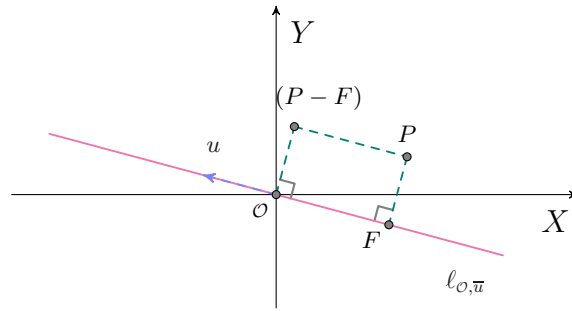


FIGURA 64. Paralelogramo con vértices \mathcal{O} , F , P y $(P - F)$

Con esta expresión para el pie de perpendicular, podemos establecer una forma de calcular la distancia de un punto a una recta de forma vectorial la cual también funcionará para el caso de rectas en el espacio cartesiano.

Considerando $P \in \mathbb{R}^2$ y $\ell_{\mathcal{O},\bar{u}}$ una recta por el origen, $F = \text{Proy}_u(P)$ y teniendo en cuenta el ejemplo del inciso 4) de 11.3 se tiene que, si $d(P, \ell_{\mathcal{O},\bar{u}})$ denota la distancia de P a $\ell_{\mathcal{O},\bar{u}}$ se tiene que

$$\begin{aligned} d(P, \ell_{\mathcal{O},\bar{u}}) &:= d(P, F) = \sqrt{(P - F) \cdot (P - F)} && \text{(por inciso 4)} \\ &= \sqrt{(P - \text{Proy}_u(P)) \cdot (P - \text{Proy}_u(P))}. \end{aligned}$$

La identidad anterior sólo hace uso de la aritmética de \mathbb{R} -espacio vectorial y del producto punto, así que no es aventurado pensar que dicha expresión también funcionará para calcular la distancia de un punto a una recta por el origen en \mathbb{R}^3 . De hecho, mostraremos que a partir de esta formula podremos calcular la distancia de un punto a una recta en \mathbb{R}^n .

Observe que según la construcción que realizamos para determinar el pie de perpendicular de $P \in \mathbb{R}^2$ en $\ell_{\mathcal{O},\bar{u}}$, el punto $(P - F)$, que utilizamos en el cálculo anterior, satisface que

$$P = F + (P - F);$$

así, resulta ser que \mathcal{O} , F , P y $(P - F)$ son los vértices de un paralelogramo y en consecuencia el segmento $\overline{\mathcal{O}(P - F)}$ es perpendicular a $\ell_{\mathcal{O},\bar{u}}$ y además este segmento y \overline{PF} tienen la misma longitud; más adelante utilizaremos esta observación (véase la figura 64).

11.3. Representación normal de una recta en \mathbb{R}^2 . Consideremos $v := (a, b) \in \mathbb{R}^2 - \{\mathcal{O}\}$ entonces $u := v^\perp = (-b, a) \neq \mathcal{O}$; luego si para la recta en el plano $\ell_{Q, \bar{u}}$, sabemos que la ecuación lineal que determina a esta recta es precisamente

$$ax + by + c = 0,$$

donde $c = -(ax_Q + by_Q) = -v \cdot Q \in \mathbb{R}$; esto es

$$\begin{aligned} \ell_{Q, \bar{u}} &= \{P \in \mathbb{R}^2 \mid ax_P + by_P + c = 0\} \\ &= \{P \in \mathbb{R}^2 \mid v \cdot P - v \cdot Q = 0\} \\ &= \{P \in \mathbb{R}^2 \mid v \cdot (P - Q) = 0\} \\ &= \{P \in \mathbb{R}^2 \mid (-v) \cdot (P - Q) = 0\} \quad (\text{ya que } -0 = 0) \\ &= \{P \in \mathbb{R}^2 \mid u^\perp \cdot (P - Q) = 0\} \quad (\text{ya que } u^\perp = -v) \end{aligned}$$

La igualdad obtenida

$$(11.2) \quad \ell_{Q, \bar{u}} = \{P \in \mathbb{R}^2 \mid u^\perp \cdot (P - Q) = 0\},$$

se conoce como representación normal de la recta $\ell_{Q, \bar{u}}$. En la sección 11.6, demostramos que para $u \in \mathbb{R}^2 - \{\mathcal{O}\}$, u^\perp se obtiene a partir de rotar u en torno al origen \mathcal{O} por el ángulo $\frac{\pi}{2}$.

Como caso particular de (11.2), si $Q = \mathcal{O}$, obtenemos que

$$(11.3) \quad \langle u \rangle = \ell_{\mathcal{O}, \bar{u}} = \{P \in \mathbb{R}^2 \mid u^\perp \cdot P = 0\},$$

lo que en palabras significa que

los únicos elementos P en \mathbb{R}^2 tales que $u^\perp \cdot P = 0$ son los múltiplos escalares de u

y por consiguiente

$$(11.4) \quad u^\perp \cdot P \neq 0 \text{ si y sólo si } P \notin \ell_{\mathcal{O}, \bar{u}}.$$

11.4. La forma algebraica de \mathbb{R}^2 . Con la propiedad establecida en (11.4) ya podemos hacer una descripción del plano cartesiano \mathbb{R}^2 .

Proposición 11.7. Sean $u, v \in \mathbb{R}^2 - \{\mathcal{O}\}$. Si $\ell_{\mathcal{O}, \bar{u}} \neq \ell_{\mathcal{O}, \bar{v}}$, entonces

$$\mathbb{R}^2 = \{\lambda \cdot u + \mu \cdot v \in \mathbb{R}^2 \mid \lambda, \mu \in \mathbb{R}\}.$$

Demostración. Claramente se tiene la contención “ \supseteq ”, así que veamos que se cumple “ \subseteq ”.

Sea $P \in \mathbb{R}^2$; debemos exhibir dos números reales λ y μ de manera que

$$P = \lambda \cdot u + \mu \cdot v.$$

Considerando esta igualdad como una ecuación en las indeterminadas λ y μ , veremos que haciendo uso de algunas propiedades podremos “resolver” dicha ecuación para tales indeterminadas. La identidad anterior implica que

$$(11.5) \quad \begin{cases} v^\perp \cdot P = \lambda (v^\perp \cdot u), \\ u^\perp \cdot P = \mu (u^\perp \cdot v). \end{cases}$$

Ahora bien, como $\ell_{O,\bar{u}} \neq \ell_{O,\bar{v}}$, necesariamente $u \notin \ell_{O,\bar{v}}$ y así, por (11.4), se tiene que $v^\perp \cdot u \neq 0$; análogamente, ya que $v \notin \ell_{O,\bar{u}}$ obtenemos que $u^\perp \cdot v \neq 0$. Luego, a partir de (11.5) obtenemos que

$$(11.6) \quad \begin{cases} \lambda = \frac{v^\perp \cdot P}{v^\perp \cdot u}, \\ \mu = \frac{u^\perp \cdot P}{u^\perp \cdot v}. \end{cases}$$

De esta manera, dado $P \in \mathbb{R}^3$, se tiene que

$$(11.7) \quad P = \left(\frac{v^\perp \cdot P}{v^\perp \cdot u} \right) \cdot u + \left(\frac{u^\perp \cdot P}{u^\perp \cdot v} \right) \cdot v,$$

y por lo tanto $\mathbb{R}^2 \subseteq \{\lambda \cdot u + \mu \cdot v \in \mathbb{R}^2 \mid \lambda, \mu \in \mathbb{R}\}$. \square

En general, el conjunto $\{\lambda \cdot u + \mu \cdot v \in \mathbb{R}^2 \mid \lambda, \mu \in \mathbb{R}\}$ es denotado por el símbolo $\langle u, v \rangle$, y se llama “subespacio generado” por u y v ; más adelante se aclarará dicha terminología.

En general no tiene porqué ser $\langle u, v \rangle = \mathbb{R}^2$, por ejemplo si $\ell_{O,\bar{u}} = \ell_{O,\bar{v}}$ se tiene que $\langle u, v \rangle = \ell_{O,\bar{v}}$, pero como vimos si $\ell_{O,\bar{u}} \neq \ell_{O,\bar{v}}$ entonces $\mathbb{R}^2 = \langle u, v \rangle$. Además las identidades (11.6) dan un algoritmo para encontrar los escalares adecuados.

Ejemplo 11.8. Sean $u = (-1, 2)$ y $v = (2, 3)$. De esta manera

$$\begin{aligned} u^\perp &= (-2, -1), \\ v^\perp &= (-3, 2). \end{aligned}$$

Si $P \in \mathbb{R}^2$, entonces

$$\begin{aligned} \left(\frac{-3x_P + 2y_P}{3+4} \right) \cdot u + \left(\frac{-2x_P - y_P}{-4-3} \right) \cdot v &= \left(\frac{-3x_P + 2y_P}{7} \right) \cdot (-1, 2) + \left(\frac{2x_P + y_P}{7} \right) \cdot (2, 3) \\ &= \left(\frac{3x_P - 2y_P}{7}, \frac{-6x_P + 4y_P}{7} \right) + \left(\frac{4x_P + 2y_P}{7}, \frac{6x_P + 3y_P}{7} \right) \\ &= \left(\frac{7x_P}{7}, \frac{7y_P}{7} \right) \\ &= P \end{aligned}$$

11.5. Regreso a rectas paralelas en \mathbb{R}^2 . Con lo establecido en la proposición 11.7 ya podemos completar el análisis del significado algebraico de rectas paralelas en el plano cartesiano.

Proposición 11.9. Sean $\ell_{P,\bar{u}}$ y $\ell_{Q,\bar{v}}$ rectas en el plano \mathbb{R}^2 . Si $\ell_{P,\bar{u}} \cap \ell_{Q,\bar{v}} = \emptyset$, entonces $\ell_{O,\bar{u}} = \ell_{O,\bar{v}}$ y por consiguiente u y v son uno múltiplo escalar del otro.

Demostración. Suponemos que las rectas $\ell_{P,\bar{u}}$ y $\ell_{Q,\bar{v}}$ en el plano \mathbb{R}^2 satisfacen que $\ell_{P,\bar{u}} \cap \ell_{Q,\bar{v}} = \emptyset$.

Si $\ell_{O,\bar{u}} \neq \ell_{O,\bar{v}}$, por la proposición 11.7 se tiene que $\mathbb{R}^2 = \langle u, v \rangle$, en particular como $P, Q \in \mathbb{R}^2$ se tiene que $P, Q \in \langle u, v \rangle$ y en consecuencia existen $r, s, \lambda, \mu \in \mathbb{R}$ tales que

$$\begin{aligned} P &= r \cdot u + s \cdot v, \\ Q &= \lambda \cdot u + \mu \cdot v, \end{aligned}$$

de donde se obtiene que

$$\begin{aligned} P - r \cdot u &= s \cdot v \in \ell_{P,\bar{u}} \cap \ell_{O,\bar{v}}, \\ Q - \mu \cdot v &= \lambda \cdot u \in \ell_{Q,\bar{v}} \cap \ell_{O,\bar{u}}. \end{aligned}$$

Considerando el punto $R := \lambda \cdot u + s \cdot v$, se tiene que

$$R = \begin{cases} \lambda \cdot u + (P - r \cdot u) \\ (Q - \mu \cdot v) + s \cdot v \end{cases} = \begin{cases} P + (\lambda - r) \cdot u \\ Q + (s - \mu) \cdot v \end{cases}$$

lo cual implica que $R \in \ell_{P,\bar{u}} \cap \ell_{Q,\bar{v}}$ contradiciendo la hipótesis $\ell_{P,\bar{u}} \cap \ell_{Q,\bar{v}} = \emptyset$. Por lo tanto debe ser $\ell_{O,\bar{u}} = \ell_{O,\bar{v}}$.

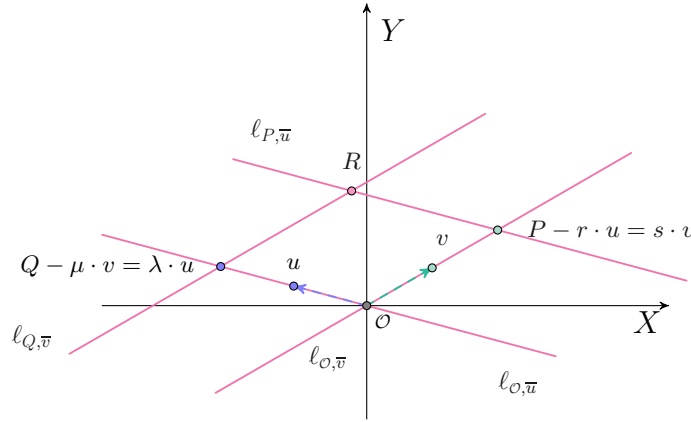


FIGURA 65. Intersección de las rectas $\ell_{P,\bar{u}}$ y $\ell_{Q,\bar{v}}$

□

Ahora estableceremos la propiedad recíproca de la proposición 11.9.

Proposición 11.10. Sean $\ell_{P,\bar{u}}$ y $\ell_{Q,\bar{v}}$ rectas en el plano cartesiano, con $\ell_{P,\bar{u}} \neq \ell_{Q,\bar{v}}$. Si $\ell_{O,\bar{u}} = \ell_{O,\bar{v}}$, entonces $\ell_{P,\bar{u}} \cap \ell_{Q,\bar{v}} = \emptyset$.

Demostración. Suponemos que $\ell_{P,\bar{u}}$ y $\ell_{Q,\bar{v}}$ son rectas distintas en el plano cartesiano.

Si $R \in \ell_{P,\bar{u}} \cap \ell_{Q,\bar{v}}$, entonces $\ell_{R,\bar{u}} = \ell_{P,\bar{u}}$ y $\ell_{R,\bar{v}} = \ell_{Q,\bar{v}}$, luego

$$\begin{aligned} \ell_{P,\bar{u}} &= \ell_{R,\bar{u}} \\ &= \{R\} + \ell_{O,\bar{u}} \\ &= \{R\} + \ell_{O,\bar{v}} \\ &= \ell_{R,\bar{v}} \\ &= \ell_{Q,\bar{v}}, \end{aligned}$$

lo cual contradice la hipótesis $\ell_{P,\bar{u}} \neq \ell_{Q,\bar{v}}$. Por lo tanto debe ser

$$\ell_{P,\bar{u}} \cap \ell_{Q,\bar{v}} = \emptyset.$$

□

Como consecuencia de estas proposiciones ((11.9) y (11.10)) se tiene el siguiente teorema.

Teorema 11.11. Sean $\ell_{P,\bar{u}}$ y $\ell_{Q,\bar{v}}$ rectas en el plano cartesiano. Si $\ell_{P,\bar{u}} \neq \ell_{Q,\bar{v}}$, entonces $\ell_{P,\bar{u}} \cap \ell_{Q,\bar{v}} = \emptyset$ si y sólo si $\ell_{O,\bar{u}} = \ell_{O,\bar{v}}$.

Ya que la propiedad $\ell_{O,\bar{u}} = \ell_{O,\bar{v}}$ implica que u y v son uno múltiplo escalar del otro, a partir de la información obtenida en el teorema 11.11 introducimos las siguientes definiciones.

Definición 11.12. Sean $u, v \in \mathbb{R}^n - \{O\}$ ($n = 2, 3$). Decimos que u es paralelo a v , y lo denotamos $u \parallel v$, si u es un múltiplo escalar de v .

Ya que la condición de que u es múltiplo escalar de v es equivalente a que $u \in \ell_{O,\bar{v}}$ y esta última es equivalente a que $\ell_{O,\bar{u}} = \ell_{O,\bar{v}}$, se tiene que

$$(11.8) \quad u \parallel v \text{ si y sólo si } \ell_{O,\bar{u}} = \ell_{O,\bar{v}}$$

La propiedad de ser paralelos en $\mathbb{R}^n - \{O\}$ determina una relación de equivalencia en $\mathbb{R}^n - \{O\}$, y dejamos al lector comprobar esta afirmación en el siguiente ejercicio.

Ejercicio 6. Sean $u, v, w \in \mathbb{R}^n - \{O\}$. Demuestre que

- 1) $u \parallel u$.
- 2) si $u \parallel v$, entonces $v \parallel u$.
- 3) si $u \parallel v$ y $v \parallel w$, entonces $u \parallel w$.

Ahora definimos cuándo dos rectas en el espacio cartesiano \mathbb{R}^3 son paralelas.

Definición 11.13. Sean $\ell_{P,\bar{u}}$ y $\ell_{Q,\bar{v}}$ rectas en el espacio cartesiano \mathbb{R}^3 . Decimos que $\ell_{P,\bar{u}}$ es paralela a $\ell_{Q,\bar{v}}$ si $u \parallel v$.

Con esta definición, **no** podemos extender la propiedad dada en el teorema 11.11 al espacio cartesiano \mathbb{R}^3 , ya que, por ejemplo, si $e_1 = (1, 0, 0)$, $e_2 = (0, 1, 0)$ y $e_3 = (0, 0, 1)$, entonces las rectas $\ell_{e_3,\bar{e_2}}$ y $\ell_{O,\bar{e_1}}$ satisfacen que

$$\ell_{e_3,\bar{e_2}} \neq \ell_{O,\bar{e_1}}, \quad \ell_{e_3,\bar{e_2}} \cap \ell_{O,\bar{e_1}} = \emptyset \quad \text{pero} \quad \ell_{e_3,\bar{e_2}} \nparallel \ell_{O,\bar{e_1}},$$

la última propiedad se da ya que tales rectas tienen diferentes direcciones, esto es, $\ell_{O,\bar{e_1}} \neq \ell_{O,\bar{e_2}}$.

La siguiente proposición establece un criterio para determinar cuándo dos rectas en \mathbb{R}^n ($n = 2, 3$) son paralelas.

Proposición 11.14. Sean $\ell_{P,\bar{u}}$ y $\ell_{Q,\bar{v}}$ rectas en \mathbb{R}^n . Las siguientes afirmaciones son equivalentes.

- 1) $\ell_{P,\bar{u}}$ es paralela a $\ell_{Q,\bar{v}}$.
- 2) existe $R \in \mathbb{R}^n$ tal que

$$\ell_{P,\bar{u}} = \{R\} + \ell_{Q,\bar{v}}.$$

Demostración. \implies) Suponemos que $\ell_{P,\bar{u}}$ es paralela a $\ell_{Q,\bar{v}}$. Por la hipótesis tenemos entonces que $\ell_{\mathcal{O},\bar{u}} = \ell_{\mathcal{O},\bar{v}}$, luego

$$\begin{aligned}\ell_{P,\bar{u}} &= \{P\} + \ell_{\mathcal{O},\bar{u}} \\ &= \{P\} + \ell_{\mathcal{O},\bar{v}} \\ &= \{(P - Q)\} + \ell_{Q,\bar{v}}\end{aligned}\quad (\text{hipótesis})$$

considerando $R := (P - Q) \in \mathbb{R}^n$ lo anterior implica que

$$\ell_{P,\bar{u}} = \{R\} + \ell_{Q,\bar{v}}.$$

\Leftarrow) Suponemos que $\ell_{P,\bar{u}} = \{R\} + \ell_{Q,\bar{v}}$. Luego

$$\begin{aligned}\ell_{\mathcal{O},\bar{u}} &= \ell_{(-P+P),\bar{u}} \\ &= \{-P\} + \ell_{P,\bar{u}} \\ &= \{-P\} + (\{R\} + \ell_{Q,\bar{v}}) \\ &= \{(R - P)\} + \ell_{Q,\bar{v}} \\ &= \ell_{[(R - P) + Q],\bar{v}}\end{aligned}$$

y como $\mathcal{O} \in \ell_{\mathcal{O},\bar{u}}$ la igualdad anterior implica que $\mathcal{O} \in \ell_{[(R - P) + Q],\bar{v}}$ y por consiguiente $\ell_{\mathcal{O},\bar{v}} = \ell_{[(R - P) + Q],\bar{v}}$. Por lo tanto $\ell_{\mathcal{O},\bar{u}} = \ell_{\mathcal{O},\bar{v}}$ y $\ell_{P,\bar{u}}$ es paralela a $\ell_{Q,\bar{v}}$. \square

11.6. Compadre ortogonal. Sea $v := (a, b) \in \mathbb{R}^2 - \{\mathcal{O}\}$. En la sección 11.3 consideramos $u = v^\perp := (-b, a)$ y mostramos que

$$\ell_{Q,\bar{u}} = \{P \in \mathbb{R}^2 \mid u^\perp \cdot (P - Q) = 0\}.$$

En esta sección veremos el significado geométrico de v^\perp , pero antes de iniciar lo presentamos en la siguiente definición.

Definición 11.15. Dado $u \in \mathbb{R}^2 - \{\mathcal{O}\}$, el compadre ortogonal de u , que denotamos por u^\perp , es el elemento de \mathbb{R}^2 dado por

$$u^\perp = (-y_u, x_u).$$

El símbolo u^\perp se lee “ u -ortogonal”. Para establecer el significado geométrico de u^\perp analizamos las posibilidades para las coordenadas de u .

Si la primera coordenada es 0 entonces u se encuentra en eje Y y en consecuencia $u^\perp = (-y_P, 0)$ está en el eje X . Además

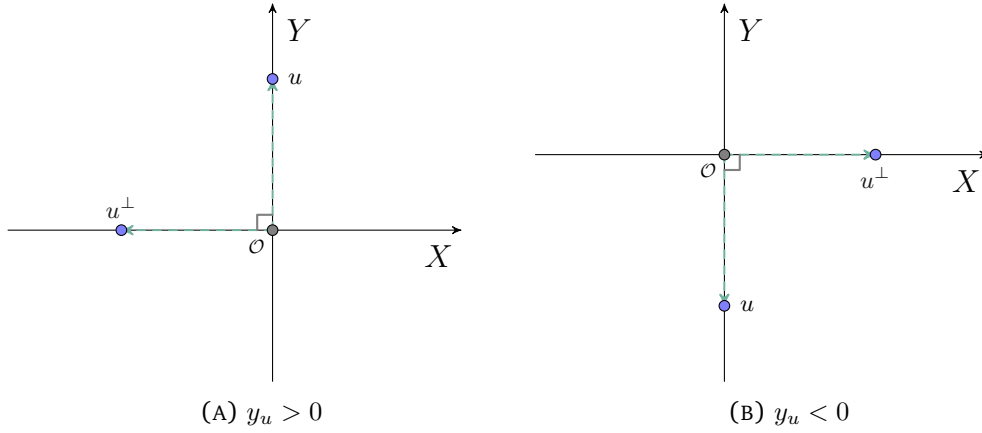
- si $y_u > 0$ entonces u está en el semieje positivo Y y en este caso u^\perp está en el semieje negativo Y , pues $-y_P < 0$.
- si $y_u < 0$ entonces u está en el semieje negativo Y y en este caso u^\perp está en el semieje positivo Y , ya que $-y_P > 0$.

Véase la figura 66.

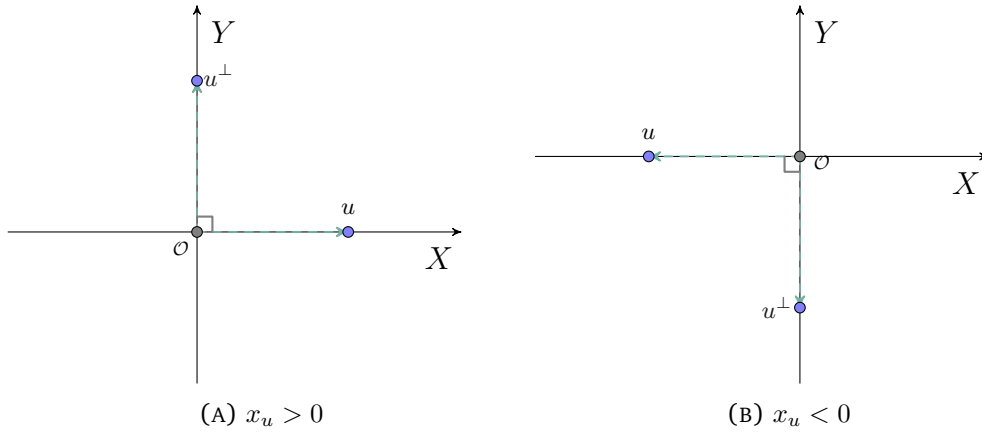
Por otra parte, si $x_u \neq 0$ la pendiente del segmento $\overline{\mathcal{O}u}$ es

$$(11.9) \quad m_{\overline{\mathcal{O}u}} = \frac{y_P}{x_P}.$$

Si $m_{\overline{\mathcal{O}u}} = 0$, entonces u es un punto en el eje X y en tal caso

FIGURA 66. Compadre ortogonal con $u \in \ell_Y$

- si $x_u > 0$ entonces u está en el semieje positivo X y en este caso $u^\perp = (0, x_u)$ está en el semieje positivo Y .
- si $x_u < 0$ entonces u está en el semieje negativo X y en este caso $u^\perp = (0, x_u)$ está en el semieje negativo Y .

FIGURA 67. Compadre ortogonal con $u \in \ell_X$

Finalmente, si $m_{\overline{\mathcal{O}u}} \neq 0$, entonces

$$m_{\overline{\mathcal{O}u^\perp}} = -\frac{1}{m_{\overline{\mathcal{O}u}}},$$

lo cual significa que $\overline{\mathcal{O}u}$ y $\overline{\mathcal{O}u^\perp}$ son perpendiculares. Por otra parte claramente $d(\mathcal{O}, u^\perp) = d(\mathcal{O}, u)$ y además

$$\begin{aligned} u \in C_I &\implies u^\perp \in C_{II} \\ u \in C_{II} &\implies u^\perp \in C_{III} \\ u \in C_{III} &\implies u^\perp \in C_{VI} \\ u \in C_{IV} &\implies u^\perp \in C_I \end{aligned}$$

Por lo tanto, geoméricamente el punto u^\perp se obtiene a partir de u a través de una rotación en torno al origen \mathcal{O} por un ángulo recto.

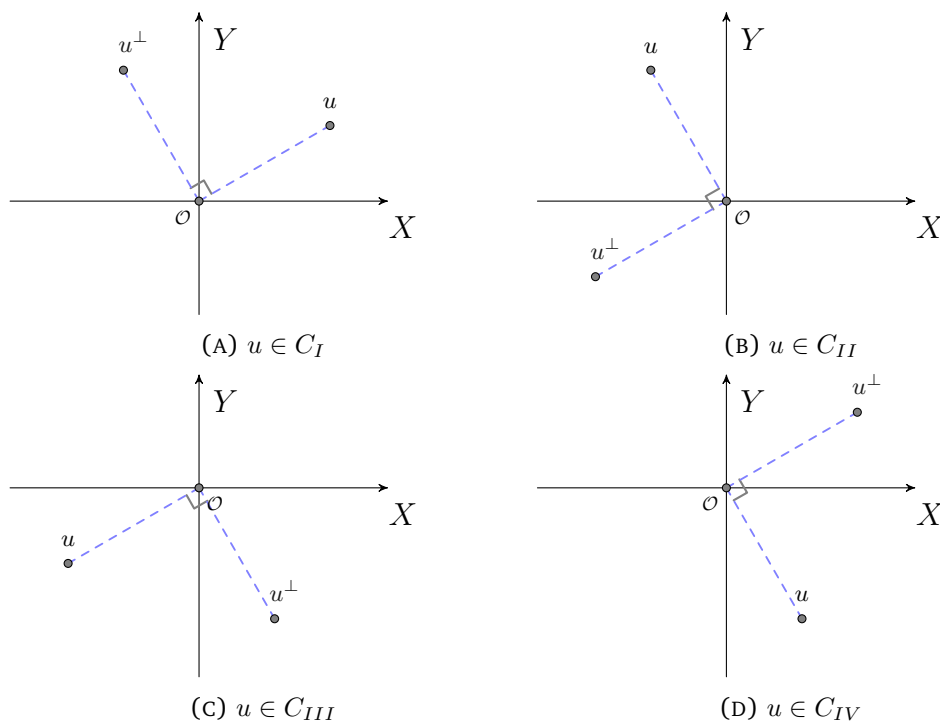


FIGURA 68. Compadre ortogonal con u en un cuadrante

En vista de lo analizado, presentamos la siguiente definición.

Definición 11.16. Sean $u, v \in \mathbb{R}^2 - \{\mathcal{O}\}$. Diremos que u es ortogonal a v , y lo denotamos $u \perp v$, si $u \cdot v = 0$.

Con esta definición se tiene que

Ejemplos 11.17. 1) Si $e_1, e_2 \in \mathbb{R}^2$ son como en el inciso 2) del ejemplo 11.3, entonces $e_1 \perp e_2$

2) Si $u \in \mathbb{R}^2 - \{\mathcal{O}\}$, entonces $u \perp u^\perp$.

15. APÉNDICE

15.1. Rectas con dirección igual a los ejes coordenados. Como mencionamos anteriormente, extrapolaremos las descripciones de los ejes coordenados, para ello sea $P_0 = (a, b, c) \in \mathbb{R}^3$, un punto fijo. Denotaremos por $\ell_{P_0,X}$, $\ell_{P_0,Y}$ y $\ell_{P_0,Z}$, a las “rectas” que pasan por P_0 y que tienen dirección los ejes X , Y y Z , respectivamente. Las definiciones son las siguientes:

$P \in \ell_{P_0,X}$ si y sólo si las coordenadas de P satisfacen el sistema de ecuaciones lineales:

$$\begin{cases} y = b \\ z = c \end{cases}$$

$P \in \ell_{P_0,Y}$ si y sólo si las coordenadas de P satisfacen el sistema de ecuaciones lineales:

$$\begin{cases} x = a \\ z = c \end{cases}$$

$P \in \ell_{P_0,Z}$ si y sólo si las coordenadas de P satisfacen el sistema de ecuaciones lineales:

$$\begin{cases} x = a \\ y = b \end{cases}$$

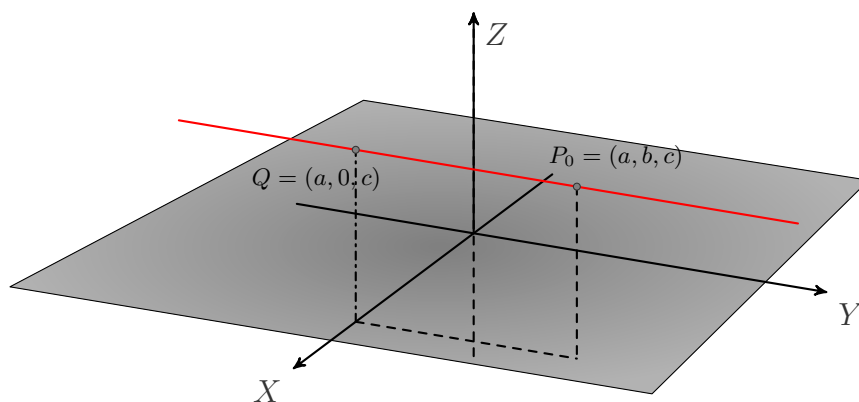


FIGURA 92. Recta $\ell_{P_0,Y}$

15.2. Planos paralelos a los planos coordenados. Continuando con un punto fijo $P_0 = (a, b, c) \in \mathbb{R}^3$, denotaremos por $\Pi_{P_0,XY}$, $\Pi_{P_0,XZ}$ y $\Pi_{P_0,YZ}$, a los planos que pasan por el punto P_0 y que son paralelos a los planos Π_{XY} , Π_{XZ} y Π_{YZ} , respectivamente.

Las definiciones de estos son: dado $P \in \mathbb{R}^3$

$P \in \Pi_{P_0,XY}$ si y sólo si las coordenadas de P satisfacen la ecuación lineal: $z = c$

$P \in \Pi_{P_0,XZ}$ si y sólo si las coordenadas de P satisfacen la ecuación lineal: $y = b$

$P \in \Pi_{P_0,YZ}$ si y sólo si las coordenadas de P satisfacen la ecuación lineal: $x = a$

El siguiente ejercicio es inmediato de las definiciones de las rectas cuya dirección es una de las direcciones de los ejes coordenados y de los planos paralelos a los planos coordenados, y muestra que estos objetos heredan el carácter ortogonal del sistema coordenado.

Ejercicio 12. Para cada $P \in \mathbb{R}^3$

- 1) $\Pi_{P,XY} \cap \Pi_{P,XZ} = \ell_{P,X}$.
- 2) $\Pi_{P,XY} \cap \Pi_{P,YZ} = \ell_{P,Y}$.
- 3) $\Pi_{P,XZ} \cap \Pi_{P,YZ} = \ell_{P,Z}$.
- 4) $\Pi_{P,XY} \cap \Pi_{P,XZ} \cap \Pi_{P,YZ} = \{P\}$.

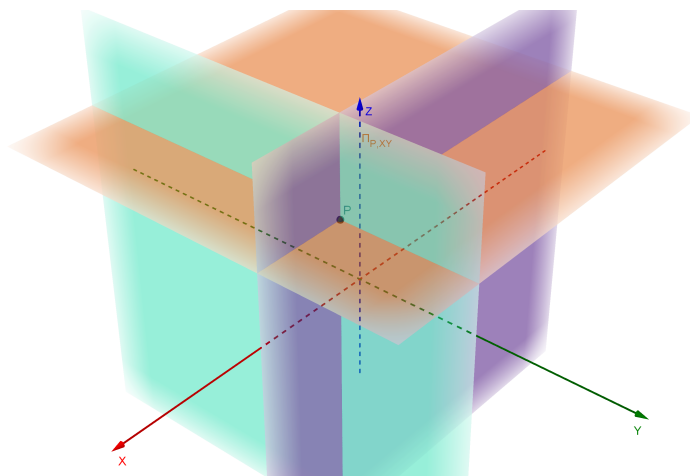


FIGURA 93. Intersección de planos $\Pi_{P,XY}$, $\Pi_{P,XZ}$ y $\Pi_{P,YZ}$

15.3. Distancia en \mathbb{R}^3 . Consideraremos las construcciones de los lugares geométrico de las subsecciones 15.1 y 15.2 para determinar la fórmula de la distancia entre dos punto en el espacio cartesiano.

Sean $P, Q \in \mathbb{R}^3$, con $P \neq Q$ y suponemos además que todas las coordenadas de estos dos puntos son distintas; si P y Q comparten dos de sus coordenadas, entonces por lo discutido en la subsección 15.1, el segmento \overline{PQ} tiene alguna de las direcciones de los ejes coordenados y en tal caso, la longitud de este segmento es el valor absoluto de la diferencia de las coordenadas en que difieren P y Q , véase la figura 94.

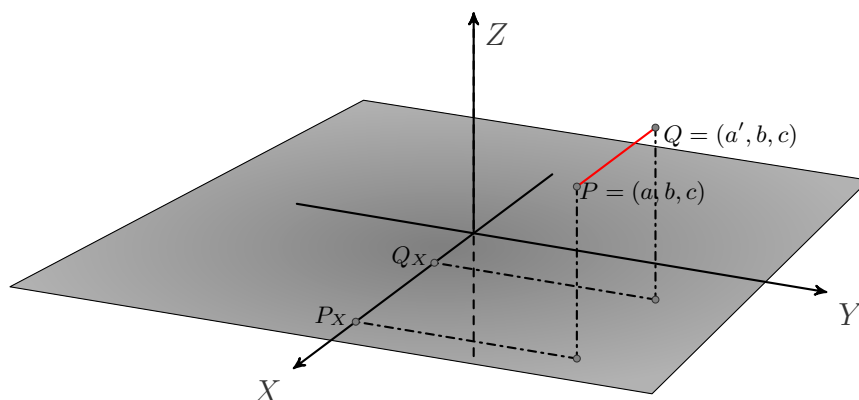


FIGURA 94. $PQ = P_X Q_X = |x_P - x_Q|$

Si todas las coordenadas de P y Q son distintas, entonces el punto

$$S := (x_Q, y_Q, z_P) \in \mathbb{R}^3$$

es distinto de P y Q y así tenemos un triángulo $\triangle PSQ$.

Por otra parte, como la tercer coordenada de P y S coinciden, entonces P y S están en el plano $\Pi_{P,XY}$ determinado por la ecuación

$$Z = z_P;$$

además como las dos primeras coordenadas de S y Q coinciden, el segmento \overline{SQ} tiene la dirección del eje Z y por consiguiente, la elección del sistema coordenado, garantiza que \overline{PS} y \overline{SQ} son perpendiculares y así $\triangle PSQ$ es rectángulo, cuyo ángulo recto es $\angle PSQ$ e hipotenusa \overline{PQ} .

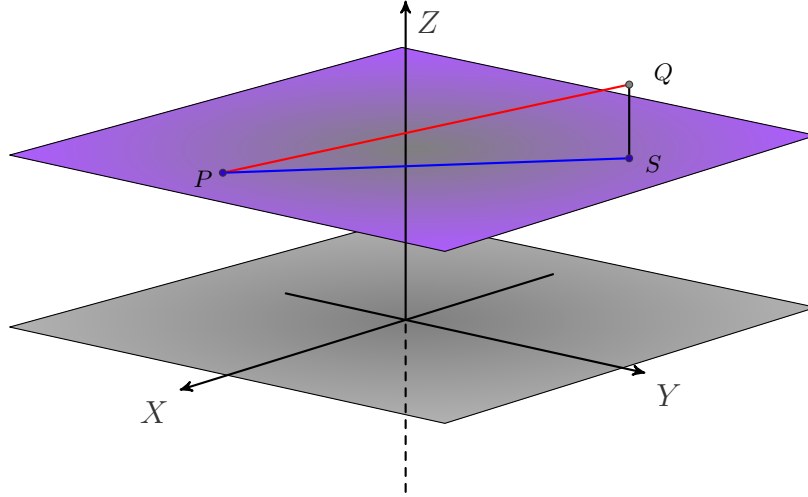


FIGURA 95. Triángulo rectángulo $\triangle PSQ$

Por el teorema de pitágoras

$$(PQ)^2 = (PS)^2 + (SQ)^2,$$

y así

$$PQ = \sqrt{(PS)^2 + (SQ)^2}.$$

Determinaremos ahora las magnitudes PS y SQ .

Para determinar PS , consideramos los punto P' y S' que son los pie de perpendicular de P y S en el plano XY . Por la elección de P' y S' , sus terceras coordenadas deben ser 0; por otra parte, como P' está en la recta $\ell_{P,Z}$, sus coordenadas satisfacen el sistema de ecuaciones lineales

$$\begin{cases} x = x_P \\ y = y_P \end{cases}$$

y por consiguiente $P' = (x_P, y_P, 0)$; análogamente $S' = (x_Q, y_Q, 0)$. Suponiendo que los punto P, P', S' y S están en un plano, entonces esto puntos son los vértices de un paralelogramo y por consiguiente $PS = P'S'$, luego haciendo uso de la fórmula de la distancia en el plano,

$$(15.1) \quad \begin{aligned} PS &= P'S' \\ &= \sqrt{(x_P - x_Q)^2 + (y_P - y_Q)^2} \end{aligned}$$

Por otra parte, si S'' y Q'' son los pie de perpendicular de S y Q en el eje Z , entonces las dos primeras coordenadas de estos puntos son 0; además como $\overline{SS''}$ es perpendicular al eje Z , entonces la tercer coordenada de S'' es precisamente la tercer coordenada de S , esto es, $S'' \in \Pi_{S,XY}$, y por consiguiente

$$S'' = (0, 0, z_P);$$

análogamente $Q'' = (0, 0, z_Q)$. Nuevamente, si suponemos que Q, Q'', S'' y S están en un plano, estos puntos son los vértices de un paralelogramo y por consiguiente $SQ = S''Q''$, luego

$$(15.2) \quad \begin{aligned} SQ &= S''Q'' \\ &= |z_P - z_Q| \end{aligned}$$

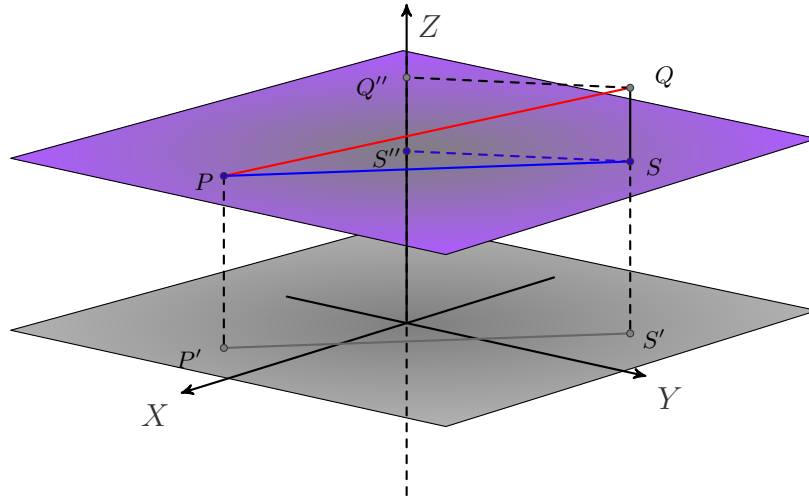


FIGURA 96. Longitud de catetos del triángulo $\triangle PSQ$

Por lo tanto, de (15.1) y (15.2) se obtiene que

$$\begin{aligned} PQ &= \sqrt{(PS)^2 + (SQ)^2} \\ &= \sqrt{(x_P - x_Q)^2 + (y_P - y_Q)^2 + (z_P - z_Q)^2} \end{aligned}$$

Resumimos la discusión anterior en la siguiente proposición.

Proposición 15.1. Si $P, Q \in \mathbb{R}^3$, entonces la distancia de P a Q , que denotamos por $d(P, Q)$, está dada por:

$$d(P, Q) = \sqrt{(x_P - x_Q)^2 + (y_P - y_Q)^2 + (z_P - z_Q)^2}.$$

A continuación presentamos las principales propiedades de la distancia.

Proposición 15.2. Si $P, Q, R \in \mathbb{R}^3$, entonces

- 1) $d(P, Q) \geq 0$ y
 $d(P, Q) = 0$ si y sólo si $P = Q$.
- 2) $d(P, Q) = d(Q, P)$.
- 3) $d(P, Q) \leq d(P, R) + d(R, Q)$.

La demostración de las propiedades (1) y (2) no son complicadas y se dejan como ejercicio al lector. Por otra parte, la demostración de (3) se deja pendiente y será una consecuencia de otro concepto que revisaremos más adelante.

REFERENCIAS

- [E1] Euclid; The Thirteen Books of the Elements, Vol. 1, Segunda Edición; Dover; USA; 2012.
- [E2] [The First Six Books of the Elements](#) by John Casey and Euclid scanned by Project Gutenberg.
- [F] Fitzpatrick R.; [Euclid's Elements of Geometry](#); versión otorgada por el autor [aquí](#).
- [P-L] Preston G, Lovaglia A.; Modern analytic geometry; Harper & Row, Publishers; New York; 1971.^{xv}
- [R] Ramirez-Galarza, A. I.; Geometría Analítica: *Una introducción a la geometría*; México: Las prensas de Ciencias; 2011.
- [Sp] Spivak M.; Calculus, Fourth Edition; Publish or Perish Inc. Houston Texas, 2008.
- [Su] Sullivan M.; [Trigonometry A Unit Circle Approach; Ninth Edition; Prentice Hall; 2012](#).
- [W-S] Wentworth J., Smith D. E.; Geometría Plana y del Espacio; Ginn & Company; Boston USA, 1915.

^{xv} Vínculos Matemáticos No. 55 2006, servicios editoriales de la Facultad de Ciencias UNAM.

LISTA DE SÍMBOLOS

- x_P : Abscisa del punto P
 \widehat{AB} : Arco de A hasta B
 $\arg(P)$: Argumento de un punto P en el sistema de coordenadas polares
 $\arg(P)$: Argumento de un punto P en el sistema de coordenadas cartesiano
 $\mathcal{Z}(\cos)$: Conjunto de números donde la función \cos tiene valor cero
 $\mathcal{C}(O, r)$: Circunferencia con centro O de radio r
 u^\perp : Vector u -ortogonal (en \mathbb{R}^2)
 $u \times v$: Producto cruz de u y v
 $d(P, Q)$: Distancia de P a Q
 ℓ_X : Eje coordenado equis
 ℓ_Y : Eje coordenado ye
 ℓ_Z : Eje coordenado zeta
 $\langle u, v \rangle$: Subespacio generado por u y v
 $[x_0, x_1]$: Intervalo determinado por los números x_0 y x_1 con $x_0 < x_1$
 \widehat{AB} : Arco determinado por A y B en sentido levógiro
 $\mathcal{L}(\widehat{AB})$: Longitud del arco \widehat{AB}
 $\angle ABC$: Medida del ángulo $\angle ABC$
 \mathcal{O} : Origen en el espacio \mathbb{R}^n
 y_P : Ordenada del punto P
 $u \perp v$: u es ortogonal a v
 $u \parallel v$: u es paralelo a v
 $\Pi_{Q, \vec{u}, \vec{v}}$: Plano que pasa por Q con vectores de dirección u y v
 $\Pi_{P_0, XY}$: Plano por P_0 paralelo al plano Π_{XY}
 $\Pi_{P_0, XZ}$: Plano por P_0 paralelo al plano Π_{XZ}
 $\Pi_{P_0, YZ}$: Plano por P_0 paralelo al plano Π_{YZ}
 Π_{XY} : Plano coordenado XY
 Π_{XZ} : Plano coordenado XZ
 Π_{YZ} : Plano coordenado YZ
 \mathcal{O} : Polo en el sistema de coordenadas polares
 $\lambda \cdot P$: Producto por escalares de P por λ
 $\text{Proy}_v(P)$: Proyección ortogonal de Pu en v
 $s(P)_O$: Punto simétrico de P respecto a O
 rayOA : Rayo desde O hasta A
 ℓ_m : Recta por el origen con pendiente m
 $\ell_{P_0, X}$: Recta por P_0 con dirección del eje X
 $\ell_{P_0, Y}$: Recta por P_0 con dirección del eje Y
 $\ell_{P_0, Z}$: Recta por P_0 con dirección del eje Z
 $\ell_{P_0, \vec{u}}$: Recta por P_0 con dirección u
 \overline{AB} : Segmento de recta determinado por los puntos A y B
 $V \leq \mathbb{R}^n$: Suespacio vectorial de \mathbb{R}^n
 $P + Q$: Suma (vectorial) de P y Q
 $\{P_0\} + \mathbb{A}$: Trasladado de \mathbb{A} por B

DEPARTAMENTO DE MATEMÁTICAS, FACULTAD DE CIENCIAS UNAM, OCTUBRE 2018
Email address: `ernestoms@ciencias.unam.mx`